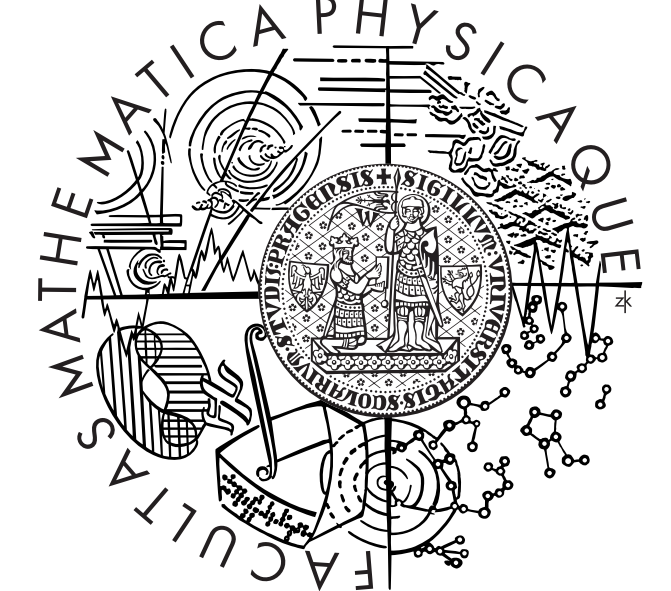




Časoprostorové bodové procesy a jejich aplikace

Blažena Frčalová a Viktor Beneš

frcalova@karlin.mff.cuni.cz
Univerzita Karlova v Praze, Česká Republika



ABSTRAKT

Časoprostorové bodové procesy mají uplatnění v různých aplikacích, např. v neurofyziologii, kde pomáhají modelovat elektrické impulsy v mozku (spiky). Na reálných datech získaných z neuronu potkana pohybujícího se v aréně a hledajícího potravu jsou odhadnuty charakteristiky experimentu. Jsou zde prezentovány dva přístupy. První přístup je znám z literatury a je založen na rekurzivních rovnicích. Druhý přístup používá bodový shot-noise Cox proces.

DATA

(Klement 2006)

Je známo, že aktivita neuronové buňky části hippocampusu se mění v závislosti na poloze zvířete a je vysoká v jedné určité oblasti, zatímco jinde je nízká. Naše data obsahují polohu potkana v čase a časy elektrických impulzů.



Trasa potkana v kruhové aréně s vyznačenými spiky - červené křížky (vlevo) a časový vývoj počtu spiků (vpravo) (Klement 2006).

REKURZIVNÍ METODA

(Eden a kol. 2004)

V první metodě uvažujeme podmíněnou intenzitu λ^* danou vektorem parametrů ψ , které se mění v diskrétním čase. Předpokládejme $\Delta > 0$ dostatečně malé, ΔN_k indikátor události (spiku) v intervalu $((k-1)\Delta, k\Delta]$. Označme $N_{1:k} = [\Delta N_1, \dots, \Delta N_k]$ a $\psi_{1:k} = [\psi_1, \dots, \psi_k]$ a $\lambda_k^* = \lambda^*(k\Delta|\psi_k, N_{1:k-1})$.

Stavová rovnice

$$\psi_k = F\psi_{k-1} + \eta_k$$

s pevně danou maticí F a Gaussovským šumem η_k s nulovou střední hodnotou a kovarianční maticí Q_k .

Rekurzivní systém rovnic pro výpočet aposteriorní hustoty $p(\psi_k|N_{1:k})$:

$$p(\psi_k|N_{1:k}) = \frac{p(\psi_k|N_{1:k-1})p(\Delta N_k|N_{1:k-1}, \psi_k)}{p(\Delta N_k|N_{1:k-1})}$$

$$p(\psi_k|N_{1:k-1}) = \int p(\psi_k|\psi_{k-1})p(\psi_{k-1}|N_{1:k-1})d\psi_{k-1}.$$

$$p(\Delta N_k|N_{1:k-1}, \psi_k) = (\lambda_k \Delta)^{(\Delta N_k)} \exp(-\lambda_k \Delta)$$

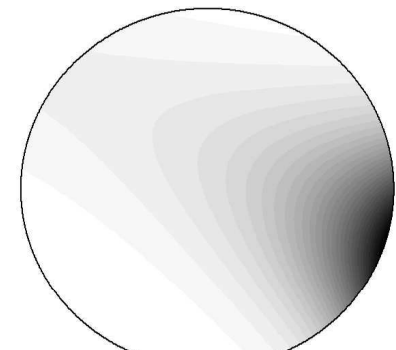
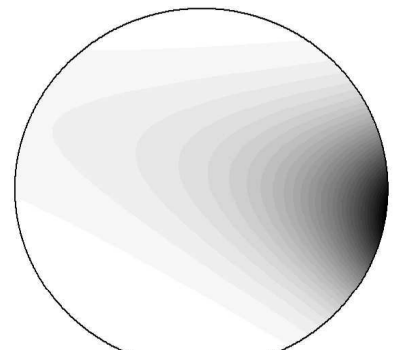
Označme $\psi_{k|k}$, $W_{k|k}$, $\psi_{k|k-1}$, $W_{k|k-1}$ vektor středních hodnot a kovarianční matice $(\psi_k|N_{1:k})$ a $(\psi_k|N_{1:k-1})$

$$\psi_{k|k-1} = F\psi_{k-1|k-1}, \quad W_{k|k-1} = FW_{k-1|k-1}F' + Q_k$$

$$W_{k|k}^{-1} = W_{k|k-1}^{-1} + \left[\left(\frac{\partial \log \lambda_k^*}{\partial \psi_k} \right)' \lambda_k^* \Delta \frac{\partial \log \lambda_k^*}{\partial \psi_k} - (\Delta N_k - \lambda_k^* \Delta) \frac{\partial^2 \log \lambda_k^*}{\partial \psi_k \partial \psi_k'} \right]_{|\psi_{k|k-1}}$$

$$\psi_{k|k} = \psi_{k|k-1} + W_{k|k} \left[\left(\frac{\partial \log \lambda_k^*}{\partial \psi_k} \right)' (\Delta N_k - \lambda_k^* \Delta) \right]_{|\psi_{k|k-1}}$$

pro $k = 1, 2, \dots$



Průměrná podmíněná intenzita ve dvou navazujících intervalech.

COXŮV PROCES

Pohyb potkana v aréně je popsán pomocí zobrazení $y : [0, T] \rightarrow \mathbb{R}^2$. Definujme časoprostorový Coxův bodový proces X_Y s událostmi na křivce Y takový, že při dané realizaci $\Lambda = \lambda$ má počet bodů (spiků) v množině $B \subset \mathcal{B}^2$ a v časovém rozmezí $[0 \leq t_1 < t_2 \leq T]$ Poissonovo rozdělení se střední hodnotou $\int_{t_1}^{t_2} I_B(y_t) \lambda(t, y_t) dt$.

Uvažujme neznámou řídící funkci intenzity

$$\Lambda(\xi) = \sum_j w_j g(\xi, \phi_j), \quad \xi \in \mathbb{R}^3,$$

kde ϕ_j jsou události časoprostorového Poissonova procesu Z s funkcí intenzity ρ , $w_j > 0$ jsou nezávislé stejně rozdělené skoky a $g((t, \sigma), (s, \rho)) = \mathbf{1}_{[-\infty, t]}(s) \mathbf{1}_{B_{s-t}(\sigma)}(\rho) e^{\gamma(s-t)}$ je nezáporná deterministická funkce, $B_s(\sigma) = \{\eta \in \mathbb{R}^d; \chi(\eta, \sigma) \leq -us\}$, $s \leq 0$ pro metriku χ na \mathbb{R}^d , $\gamma, u > 0$ parametry modelu. .

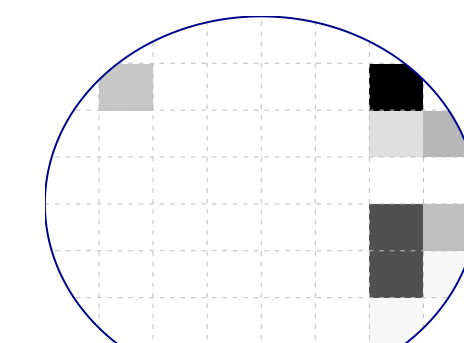
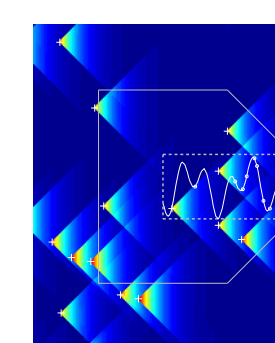
$E[\Lambda|X_Y]$ není daná explicitně, ale máme Bayesův vzorec pro pravděpodobnostní hustoty

$$f(\lambda|x_Y) \propto f(x_Y|\lambda)f(\lambda),$$

kde $f(x_Y|\lambda)$ je hustota Poissonova procesu.

$$f(Z, b|x_Y) \propto f(x_Y|Z, b)f(Z|b)f(b),$$

$Z = \{\eta_j, w_j\} = \{z_j, t_j, w_j\}$, z_j , $x = \{\tau_j\}$ realizace bodového procesu, b vektor parametrů.



Vlevo: Horizontální a vertikální osy představují čas a prostor. V okně W (obdélník) je znázorněna trasa potkana se spiky. Křížky značí události pomocného procesu Z . Príspěvek každé události procesu Z k řídící funkci intenzity Λ je znázorněn barevně. Vpravo: výpočet řídící míry intenzity pro jednotlivé úseky arény.

Poděkování: Tento výzkum byl podporován grantem Grantové agentury Akademie věd České republiky (IAA101120604).

Literatura

- [1] V. Beneš, B. Frčalová, D. Klement, P. Lánský, Overdispersion in the Place Cell Discharge - Stochastic Modelling and Inference, CP1028 Collective Dynamics: Topics on Competition and Cooperation in the Biosciences edited by L.M. Ricciardi, A. Buonocore, and E. Pirozzi - 2008 American Institute of Physics, 186–197
- [2] D. Daley, D. Vere-Jones, An Introduction to the Theory of Point Processes, Springer, New York (1988).
- [3] Eden UT, Frank LM, Barbieri R, Solo V, Brown EN, Dynamic analysis of neural encoding by point process adaptive filtering. Neural Comp 16, 971–998 (2004).
- [4] Klement D, Stochastic models in neurophysiology. Thesis. Charles University, Faculty of Math and Physics, Prague (2006).